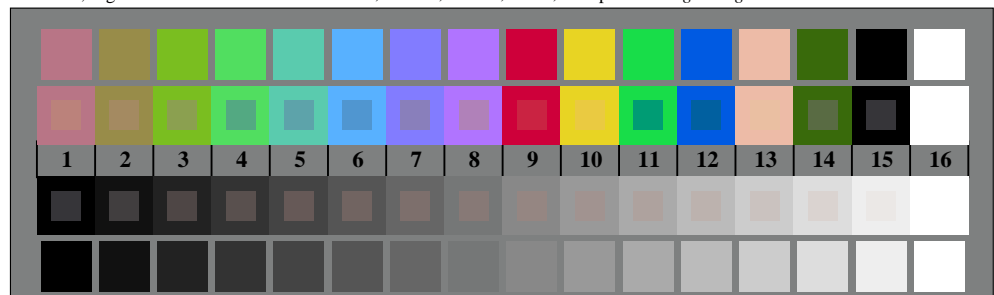
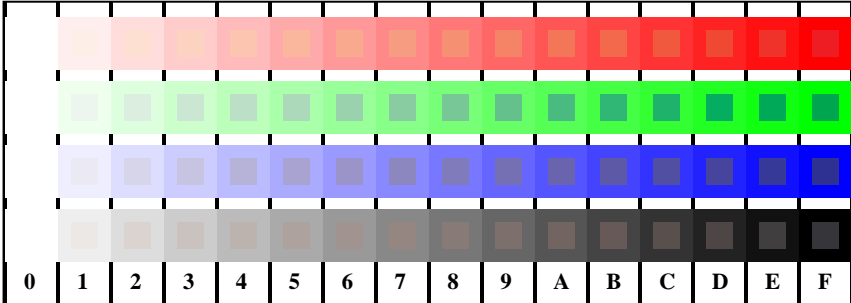


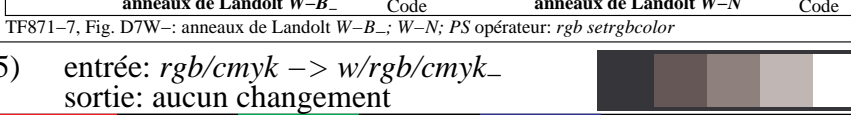
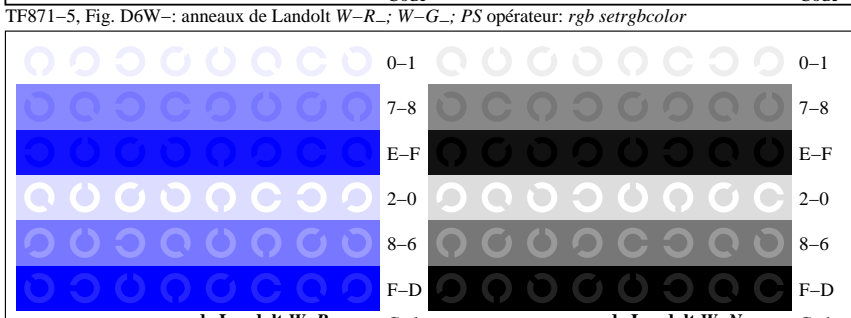
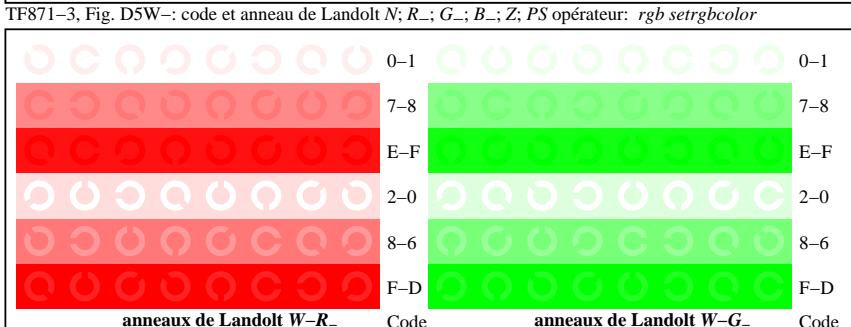
voir des fichiers similaires: <http://130.149.60.45/~farbmefrik/TF87/TF87.HTM>
 informations techniques: <http://www.ps.bam.de> ou <http://130.149.60.45/~farbmefrik/TF87/TF87L0FP.PDF/.PS>



graphique TF87; 4(ISO/IEC 15775 + ISO/IEC TR 24705)
 chromatic graphique de test RGB



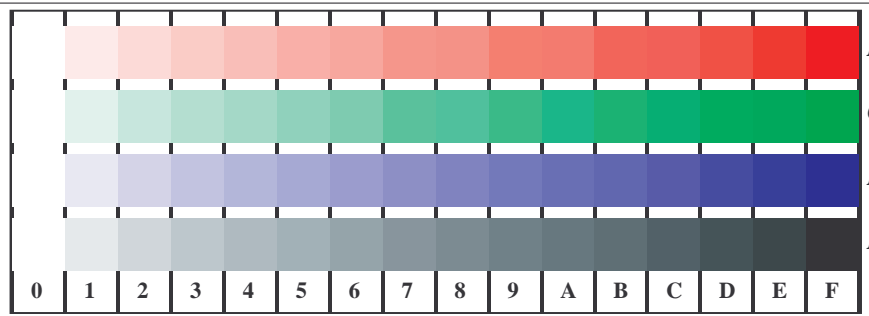
+-.:	lmno	pqrs	tuvw	tuvw	pars	lmno	lmno	xyz;	lmno	lmno	xyz;	lmno	lmno	xyz;	lmno	lmno
xyz;	hijk	defg	defg	defg	defg	hijk										
tuvw	defg	!abc	!abc	!abc	!abc	defg										
pqrs	!abc	+-.	+-.	+-.	+-.	xyz;										
lmno	+-.	xyz;	xyz;	xyz;	xyz;	tuvw										
hijk	xyz;	defg	defg	defg	defg	defg	defg	defg	defg	defg	defg	defg	defg	defg	defg	defg
defg	defg	!abc	!abc	!abc	!abc	defg										
!abc	!abc	10	N R_G_B_Z	N R_G_B_Z	N R_G_B_Z	!abc										



entrée: *rgb/cmyk -> w/rgb/cmyk_*
 sortie: aucun changement



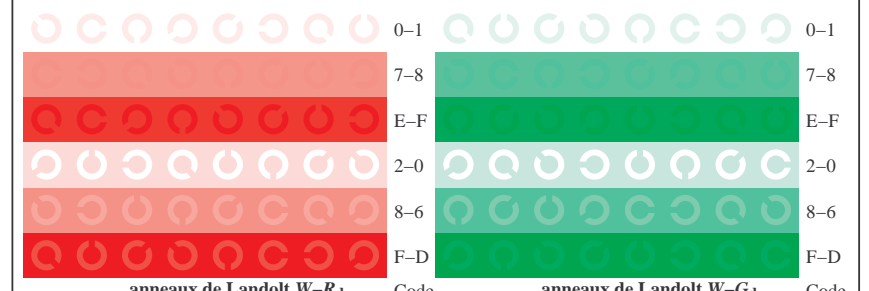
v L o Y M C http://130.149.60.45/~farbmefrik/TF87/TF87L0FP.PDF /PS; linearisation 3D
 F: linearisation 3D TF87/TF87LF30FP.DAT dans fichier (F), page 2/22



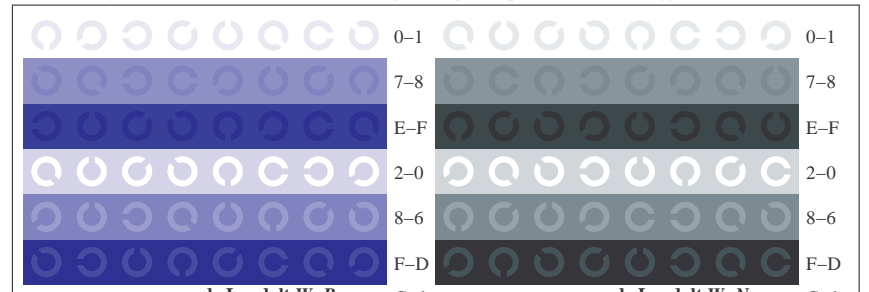
TF871-1, Fig. D4Wdd: 16 paliers équidistants $W-R_d$; $W-G_d$; $W-B_d$; $W-N$; $rgb/cmy0 \rightarrow rgb_{dd}$ setrgbcolor

+-.:	lmno	pqr	tuvw	tuvw	lmno	lmno	lmno	lmno	lmno	lmno	lmno	lmno	lmno	lmno	lmno
xyz;	hijk	defg	xyz;	xyz;	hijk	defg	xyz;	xyz;	hijk	defg	xyz;	xyz;	hijk	defg	xyz;
tuvw	defg	!abc	tuvw	tuvw	defg	!abc	defg	!abc	defg	!abc	defg	!abc	defg	!abc	defg
pqrs	!abc	+-.	xyz;	xyz;	!abc	+-.	xyz;	xyz;	!abc	+-.	xyz;	xyz;	!abc	+-.	xyz;
lmno	+-.	lmno	hijk	hijk	+-.	lmno	hijk	hijk	+-.	lmno	hijk	hijk	+-.	lmno	hijk
hijk	defg	defg	defg	defg	defg										
defg	!abc	!abc	!abc	!abc	!abc										
!abc	10	N R_d G_d B_d Z	8	N R_d G_d B_d Z	6	N R_d G_d B_d Z	4	N R_d G_d B_d Z	2	N R_d G_d B_d Z	0	N R_d G_d B_d Z	tuvw	pqrs	lmno

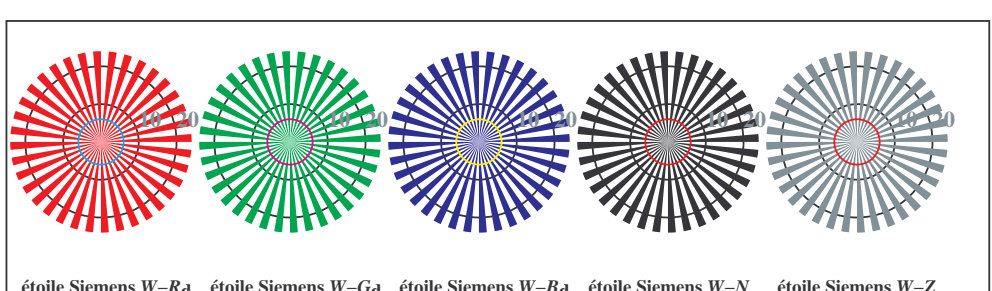
TF871-3, Fig. D5Wdd: code et anneau de Landolt N ; R_d ; G_d ; B_d ; Z ; PS opérateur: $rgb \rightarrow rgb_{dd}$ setrgbcolor



TF871-5, Fig. D6Wdd: anneaux de Landolt $W-R_d$; $W-G_d$; PS opérateur: $rgb \rightarrow rgb_{dd}$ setrgbcolor

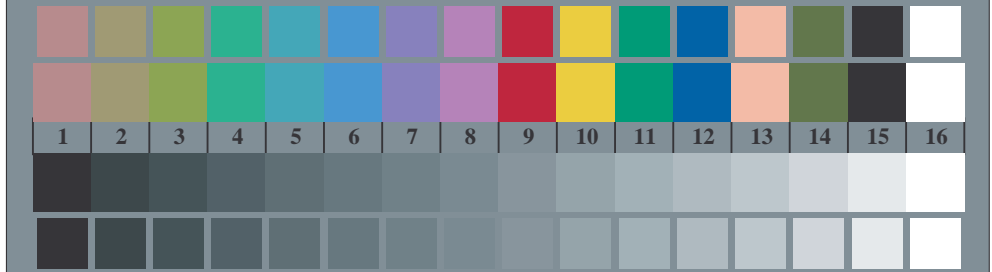


TF871-7, Fig. D7Wdd: anneaux de Landolt $W-B_d$; $W-N$; PS opérateur: $rgb \rightarrow rgb_{dd}$ setrgbcolor



étoile Siemens $W-R_d$ étoile Siemens $W-G_d$ étoile Siemens $W-B_d$ étoile Siemens $W-N$ étoile Siemens $W-Z$

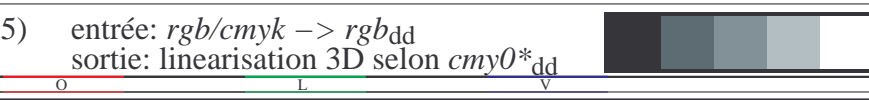
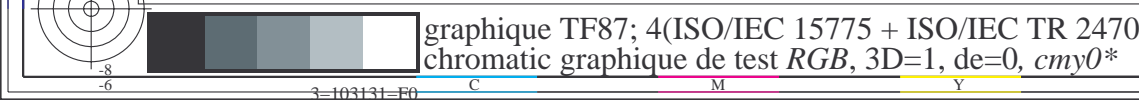
TF870-5, Fig. D2Wdd: étoile de Siemens $W-R_d$; $W-G_d$; $W-B_d$; $W-N$; PS opérateur: $rgb \rightarrow rgb_{dd}$ setrgbcolor



TF870-7, Fig. D3Wdd: 14 CIE test couleurs et 2 + 16 paliers de gris (sf); PS opérateur: $rgb/cmy0 \rightarrow rgb_{dd}$ setrgbcolor

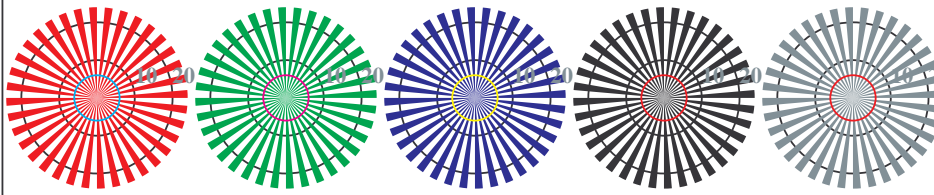
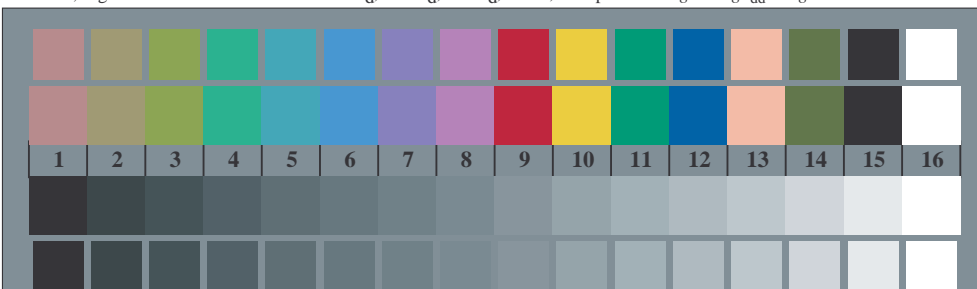
graphique TF87; 4(ISO/IEC 15775 + ISO/IEC TR 24705)
 chromatic graphique de test RGB, 3D=1, de=0, cmy0*

entrée: $rgb/cmyk \rightarrow rgb_{dd}$
 sortie: linearisation 3D selon $cmy0^*dd$

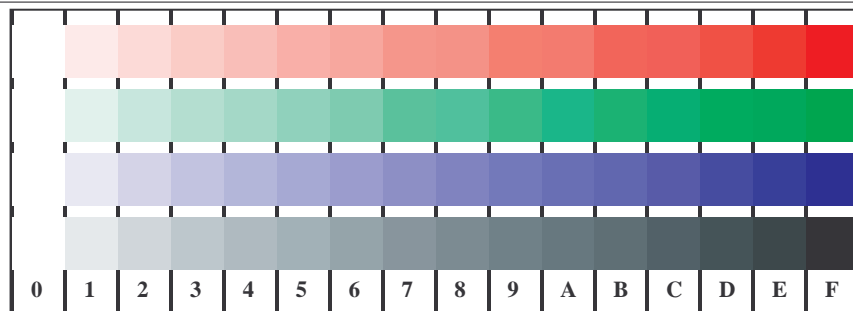


voir des fichiers similaires: <http://130.149.60.45/~farbmefrik/TF87/TF87.HTM>
 informations techniques: <http://www.ps.bam.de> ou <http://130.149.60.45/~farbmefrik/TF87/TF87LF30FP.DAT>

TUB enregistrement: 20150701-TF87/TF87L0FP.PDF /PS
 application pour la mesure des sorties sur offset, séparation cmy0* (CMY0)
 TUB matériel: code=rha4ta

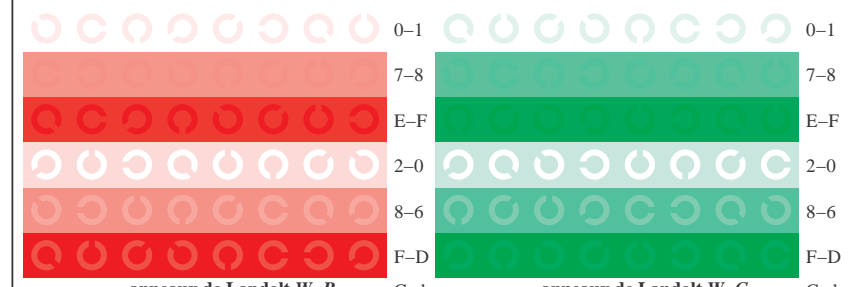
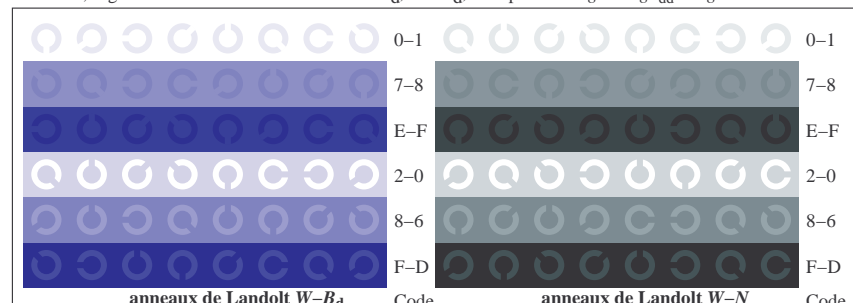
TF870-5, Fig. D2Wdd: étoile de Siemens $W-R_d$; $W-G_d$; $W-B_d$; $W-N$; PS opérateur : $rgb \rightarrow rgb_{dd}$ setrgbcolorTF870-7, Fig. D3Wdd: 14 CIE test couleurs et 2 + 16 paliers de gris (sf); PS opérateur: $rgb/cmy0 \rightarrow rgb_{dd}$ setrgbcolor

graphique TF87; 4(ISO/IEC 15775 + ISO/IEC TR 24705)
 chromatic graphique de test RGB, 3D=1, de=0, cmy0*

TF871-1, Fig. D4Wdd: 16 paliers équidistants $W-R_d$; $W-G_d$; $W-B_d$; $W-N$; $rgb/cmy0 \rightarrow rgb_{dd}$ setrgbcolor

+--:	Q	O	C	O	C	O	C	O	C	O	C	O	C	O	C	O	C
xyz;	Q	O	C	O	C	O	C	O	C	O	C	O	C	O	C	O	C
tuvw	Q	O	C	O	C	O	C	O	C	O	C	O	C	O	C	O	C
pqrs	Q	O	C	O	C	O	C	O	C	O	C	O	C	O	C	O	C
lmno	Q	O	C	O	C	O	C	O	C	O	C	O	C	O	C	O	C
hijk	Q	O	C	O	C	O	C	O	C	O	C	O	C	O	C	O	C
defg	Q	O	C	O	C	O	C	O	C	O	C	O	C	O	C	O	C
!abc	Q	O	C	O	C	O	C	O	C	O	C	O	C	O	C	O	C
+--:	Q	O	C	O	C	O	C	O	C	O	C	O	C	O	C	O	C
xyz;	Q	O	C	O	C	O	C	O	C	O	C	O	C	O	C	O	C
tuvw	Q	O	C	O	C	O	C	O	C	O	C	O	C	O	C	O	C
pqrs	Q	O	C	O	C	O	C	O	C	O	C	O	C	O	C	O	C
lmno	Q	O	C	O	C	O	C	O	C	O	C	O	C	O	C	O	C
hijk	Q	O	C	O	C	O	C	O	C	O	C	O	C	O	C	O	C
defg	Q	O	C	O	C	O	C	O	C	O	C	O	C	O	C	O	C
!abc	Q	O	C	O	C	O	C	O	C	O	C	O	C	O	C	O	C
10	N	R_d	G_d	B_d	Z												

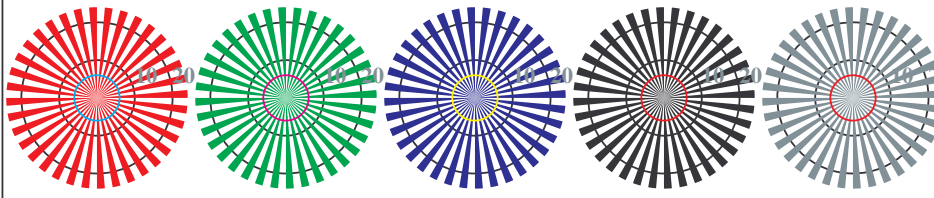
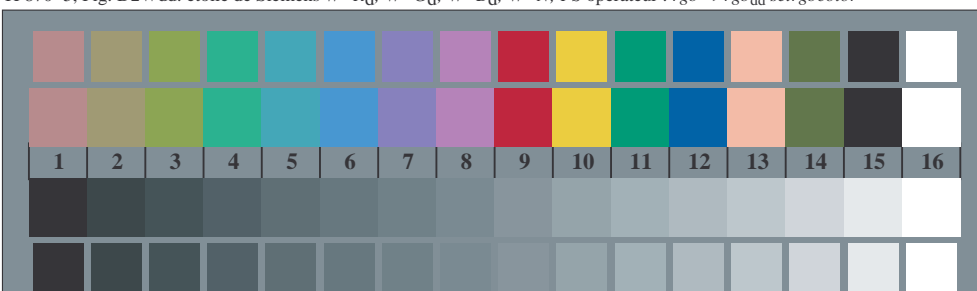
lmno pqr tuvw xyz;
 hijk lmno hijk +-:
 defg !abc tuvw xyz;
 !abc pqrs defg hijk
 10 N R_d G_d B_d Z 6 N R_d G_d B_d Z
 8 N R_d G_d B_d Z

TF871-3, Fig. D5Wdd: code et anneau de Landolt N ; R_d ; G_d ; B_d ; Z ; PS opérateur: $rgb \rightarrow rgb_{dd}$ setrgbcolorTF871-5, Fig. D6Wdd: anneaux de Landolt $W-R_d$; $W-G_d$; PS opérateur: $rgb \rightarrow rgb_{dd}$ setrgbcolorTF871-7, Fig. D7Wdd: anneaux de Landolt $W-B_d$; $W-N$; PS opérateur: $rgb \rightarrow rgb_{dd}$ setrgbcolor

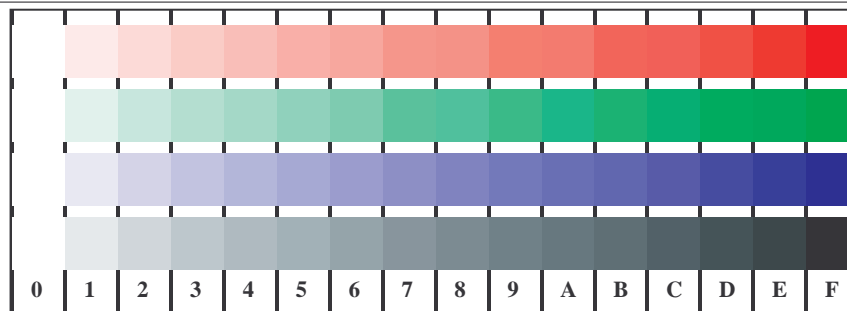
entrée: $rgb/cmyk \rightarrow rgb_{dd}$
 sortie: linearisation 3D selon $cmy0^*dd$

voir des fichiers similaires: <http://130.149.60.45/~farbmefrik/TF87/TF87.HTM>
 informations techniques: <http://www.ps.bam.de> ou <http://130.149.60.45/~farbmefrik/TF87/TF87LF30FP.DAT>

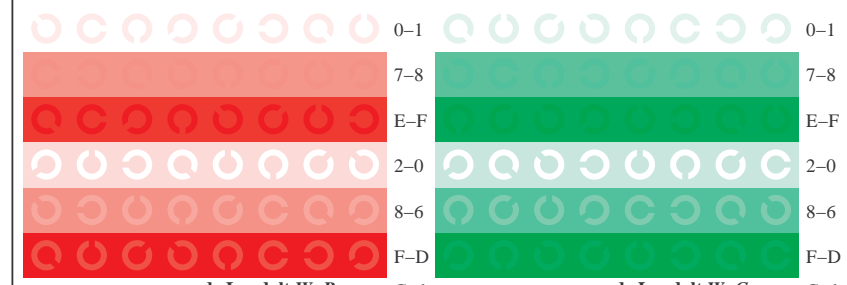
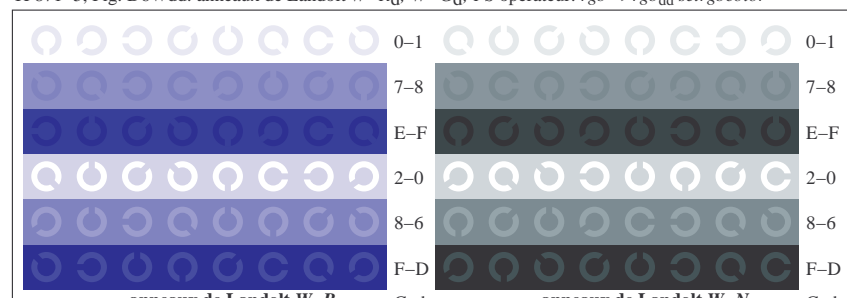
TUB enregistrement: 20150701-TF87/TF87L0FP.PDF /PS
 application pour la mesure des sorties sur offset, séparation cmy0* (CMY0)
 TUB matériel: code=rha4ta

TF870-5, Fig. D2Wdd: étoile de Siemens $W-R_d$; $W-G_d$; $W-B_d$; $W-N$; PS opérateur : $rgb \rightarrow rgb_{dd}$ setrgbcolorTF870-7, Fig. D3Wdd: 14 CIE test couleurs et 2 + 16 paliers de gris (sf); PS opérateur: $rgb/cmy0 \rightarrow rgb_{dd}$ setrgbcolor

graphique TF87; 4(ISO/IEC 15775 + ISO/IEC TR 24705)
 chromatic graphique de test RGB, 3D=1, de=0, cmy0*

TF871-1, Fig. D4Wdd: 16 paliers équidistants $W-R_d$; $W-G_d$; $W-B_d$; $W-N$; $rgb/cmy0 \rightarrow rgb_{dd}$ setrgbcolor

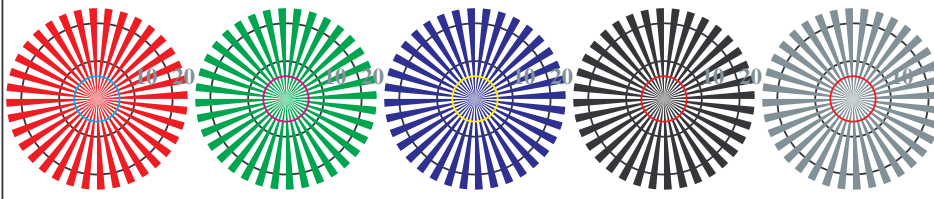
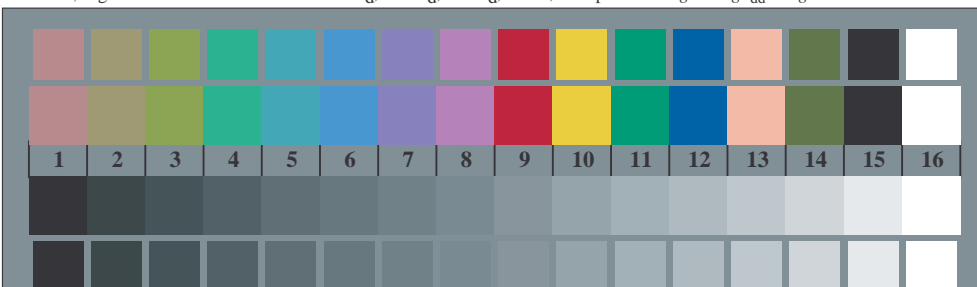
+--:	Q	O	C	O	C	O	C	O	C	O	C	O	C	O	C	O	C
xyz;	O	O	O	O	O	O	O	O	O	O	O	O	O	O	O	O	O
tuvw	O	O	O	O	O	O	O	O	O	O	O	O	O	O	O	O	O
pqrs	O	O	O	O	O	O	O	O	O	O	O	O	O	O	O	O	O
lmno	O	O	O	O	O	O	O	O	O	O	O	O	O	O	O	O	O
hijk	O	O	O	O	O	O	O	O	O	O	O	O	O	O	O	O	O
defg	O	O	O	O	O	O	O	O	O	O	O	O	O	O	O	O	O
!abc	O	O	O	O	O	O	O	O	O	O	O	O	O	O	O	O	O
+--:	O	O	O	O	O	O	O	O	O	O	O	O	O	O	O	O	O
xyz;	O	O	O	O	O	O	O	O	O	O	O	O	O	O	O	O	O
tuvw	O	O	O	O	O	O	O	O	O	O	O	O	O	O	O	O	O
pqrs	O	O	O	O	O	O	O	O	O	O	O	O	O	O	O	O	O
lmno	O	O	O	O	O	O	O	O	O	O	O	O	O	O	O	O	O
hijk	O	O	O	O	O	O	O	O	O	O	O	O	O	O	O	O	O
defg	O	O	O	O	O	O	O	O	O	O	O	O	O	O	O	O	O
!abc	O	O	O	O	O	O	O	O	O	O	O	O	O	O	O	O	O
10	N	R_d	G_d	B_d	Z												

TF871-3, Fig. D5Wdd: code et anneau de Landolt N ; R_d ; G_d ; B_d ; Z ; PS opérateur: $rgb \rightarrow rgb_{dd}$ setrgbcolorTF871-5, Fig. D6Wdd: anneaux de Landolt $W-R_d$; $W-G_d$; PS opérateur: $rgb \rightarrow rgb_{dd}$ setrgbcolorTF871-7, Fig. D7Wdd: anneaux de Landolt $W-B_d$; $W-N$; PS opérateur: $rgb \rightarrow rgb_{dd}$ setrgbcolor

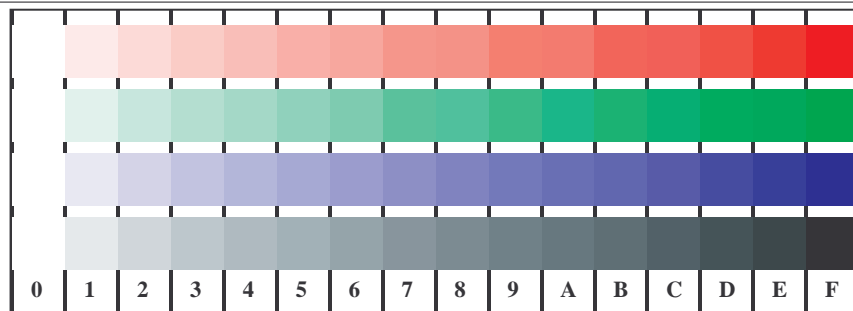
entrée: $rgb/cmyk \rightarrow rgb_{dd}$
 sortie: linearisation 3D selon $cmy0^*dd$

voir des fichiers similaires: <http://130.149.60.45/~farbmefrik/TF87/TF87.HTM>
 informations techniques: <http://www.ps.bam.de> ou <http://130.149.60.45/~farbmefrik/TF87/TF87LF30FP.DAT>

TUB enregistrement: 20150701-TF87/TF87L0FP.PDF /PS
 application pour la mesure des sorties sur offset, séparation cmy0* (CMY0)
 TUB matériel: code=rha4ta

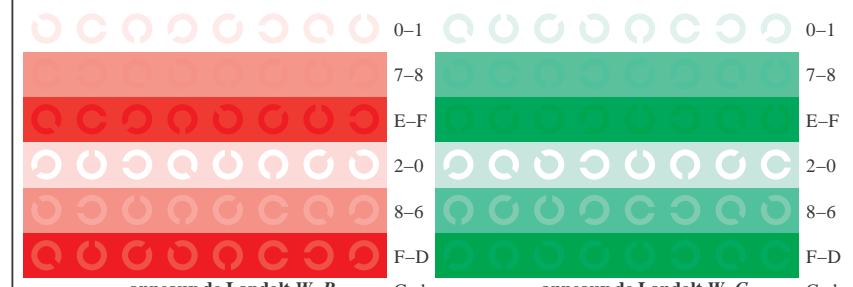
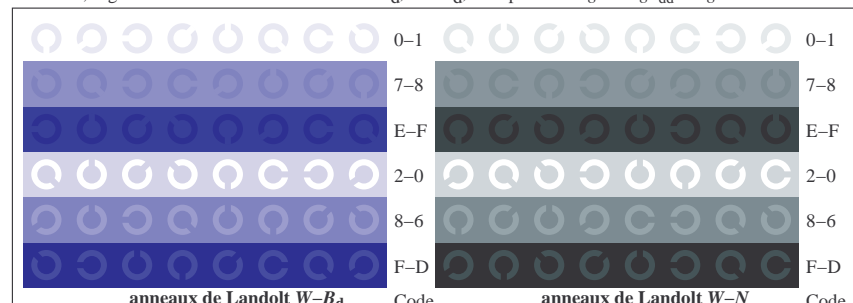
TF870-5, Fig. D2Wdd: étoile de Siemens $W-R_d$; $W-G_d$; $W-B_d$; $W-N$; PS opérateur : $rgb \rightarrow rgb_{dd}$ setrgbcolorTF870-7, Fig. D3Wdd: 14 CIE test couleurs et 2 + 16 paliers de gris (sf); PS opérateur: $rgb/cmy0 \rightarrow rgb_{dd}$ setrgbcolor

graphique TF87; 4(ISO/IEC 15775 + ISO/IEC TR 24705)
 chromatic graphique de test RGB, 3D=1, de=0, cmy0*

TF871-1, Fig. D4Wdd: 16 paliers équidistants $W-R_d$; $W-G_d$; $W-B_d$; $W-N$; $rgb/cmy0 \rightarrow rgb_{dd}$ setrgbcolor

+--:	Q	O	C	O	C	O	C	O	C	O	C	O	C	O	C	O	C
xyz;	Q	O	C	O	C	O	C	O	C	O	C	O	C	O	C	O	C
tuvw	Q	O	C	O	C	O	C	O	C	O	C	O	C	O	C	O	C
pqrs	Q	O	C	O	C	O	C	O	C	O	C	O	C	O	C	O	C
lmno	Q	O	C	O	C	O	C	O	C	O	C	O	C	O	C	O	C
hijk	Q	O	C	O	C	O	C	O	C	O	C	O	C	O	C	O	C
defg	Q	O	C	O	C	O	C	O	C	O	C	O	C	O	C	O	C
!abc	Q	O	C	O	C	O	C	O	C	O	C	O	C	O	C	O	C
+--:	Q	O	C	O	C	O	C	O	C	O	C	O	C	O	C	O	C
xyz;	Q	O	C	O	C	O	C	O	C	O	C	O	C	O	C	O	C
tuvw	Q	O	C	O	C	O	C	O	C	O	C	O	C	O	C	O	C
pqrs	Q	O	C	O	C	O	C	O	C	O	C	O	C	O	C	O	C
lmno	Q	O	C	O	C	O	C	O	C	O	C	O	C	O	C	O	C
hijk	Q	O	C	O	C	O	C	O	C	O	C	O	C	O	C	O	C
defg	Q	O	C	O	C	O	C	O	C	O	C	O	C	O	C	O	C
!abc	Q	O	C	O	C	O	C	O	C	O	C	O	C	O	C	O	C
10	N	R_d	G_d	B_d	Z												

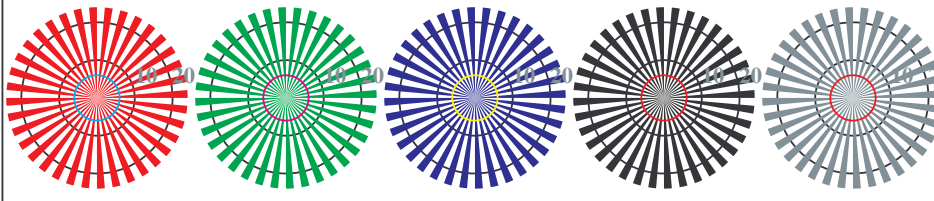
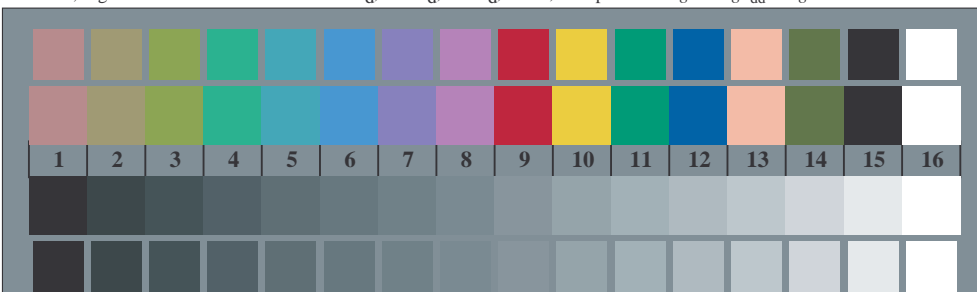
tuvw
 pqrss
 lmno
 hijk
 +-:
 fabc
 xyz;
 defg
 4
 tuvw
 defg
 !abc
 6
 N R_d G_d B_d Z
 N R_d G_d B_d Z
 8
 N R_d G_d B_d Z
 10
 N R_d G_d B_d Z

TF871-3, Fig. D5Wdd: code et anneau de Landolt N ; R_d ; G_d ; B_d ; Z ; PS opérateur: $rgb \rightarrow rgb_{dd}$ setrgbcolorTF871-5, Fig. D6Wdd: anneaux de Landolt $W-R_d$; $W-G_d$; PS opérateur: $rgb \rightarrow rgb_{dd}$ setrgbcolorTF871-7, Fig. D7Wdd: anneaux de Landolt $W-B_d$; $W-N$; PS opérateur: $rgb \rightarrow rgb_{dd}$ setrgbcolor

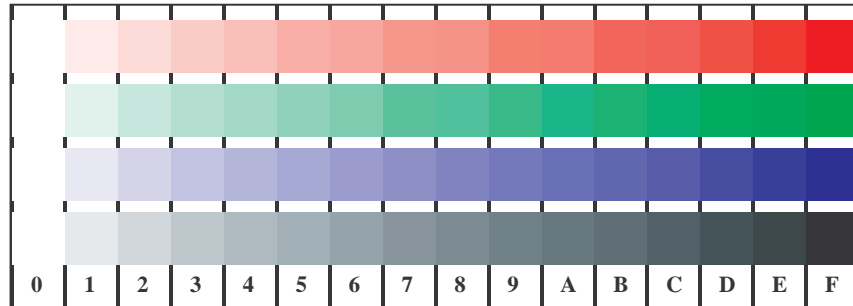
entrée: $rgb/cmyk \rightarrow rgb_{dd}$
 sortie: linearisation 3D selon $cmy0^*dd$

voir des fichiers similaires: <http://130.149.60.45/~farbmefrik/TF87/TF87.HTM>
 informations techniques: <http://www.ps.bam.de> ou <http://130.149.60.45/~farbmefrik/TF87/TF87LF30FP.DAT>

TUB enregistrement: 20150701-TF87/TF87L0FP.PDF /PS
 application pour la mesure des sorties sur offset, séparation cmy0* (CMY0)
 TUB matériel: code=rha4ta

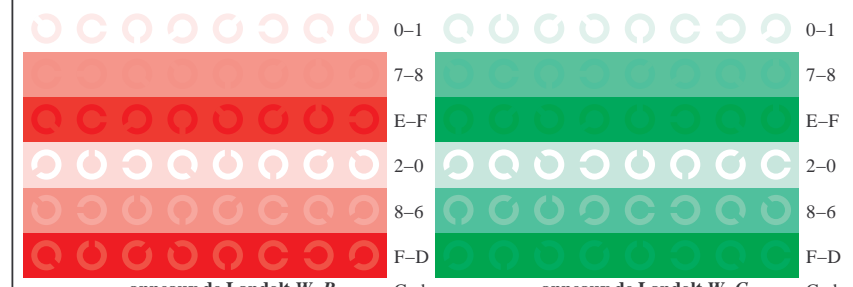
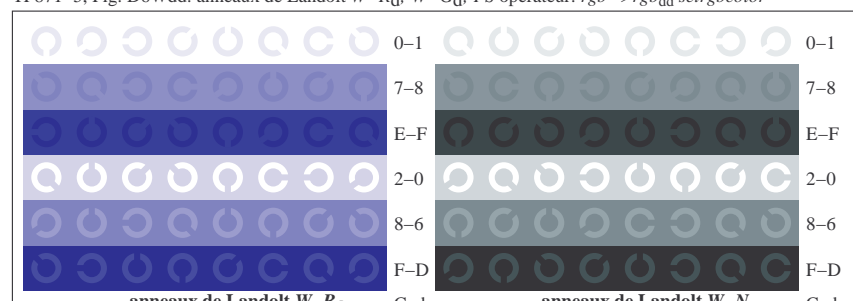
TF870-5, Fig. D2Wdd: étoile de Siemens $W-R_d$; $W-G_d$; $W-B_d$; $W-N$; PS opérateur : $rgb \rightarrow rgb_{dd}$ setrgbcolorTF870-7, Fig. D3Wdd: 14 CIE test couleurs et 2 + 16 paliers de gris (sf); PS opérateur: $rgb/cmy0 \rightarrow rgb_{dd}$ setrgbcolor

graphique TF87; 4(ISO/IEC 15775 + ISO/IEC TR 24705)
 chromatic graphique de test RGB, 3D=1, de=0, cmy0*

TF871-1, Fig. D4Wdd: 16 paliers équidistants $W-R_d$; $W-G_d$; $W-B_d$; $W-N$; $rgb/cmy0 \rightarrow rgb_{dd}$ setrgbcolor

+--:	Q	O	C	O	C	O	C	O	C	O	C	O	C	O	C	O	C
xyz;	Q	O	C	O	C	O	C	O	C	O	C	O	C	O	C	O	C
tuvw	Q	O	C	O	C	O	C	O	C	O	C	O	C	O	C	O	C
pqrs	Q	O	C	O	C	O	C	O	C	O	C	O	C	O	C	O	C
lmno	Q	O	C	O	C	O	C	O	C	O	C	O	C	O	C	O	C
hijk	Q	O	C	O	C	O	C	O	C	O	C	O	C	O	C	O	C
defg	Q	O	C	O	C	O	C	O	C	O	C	O	C	O	C	O	C
!abc	Q	O	C	O	C	O	C	O	C	O	C	O	C	O	C	O	C
+--:	Q	O	C	O	C	O	C	O	C	O	C	O	C	O	C	O	C
xyz;	Q	O	C	O	C	O	C	O	C	O	C	O	C	O	C	O	C
tuvw	Q	O	C	O	C	O	C	O	C	O	C	O	C	O	C	O	C
pqrs	Q	O	C	O	C	O	C	O	C	O	C	O	C	O	C	O	C
lmno	Q	O	C	O	C	O	C	O	C	O	C	O	C	O	C	O	C
hijk	Q	O	C	O	C	O	C	O	C	O	C	O	C	O	C	O	C
defg	Q	O	C	O	C	O	C	O	C	O	C	O	C	O	C	O	C
!abc	Q	O	C	O	C	O	C	O	C	O	C	O	C	O	C	O	C
10	N	R_d	G_d	B_d	Z												

+--:	Q	O	C	O	C	O	C	O	C	O	C	O	C	O	C	O	C
lmno	Q	O	C	O	C	O	C	O	C	O	C	O	C	O	C	O	C
hijk	Q	O	C	O	C	O	C	O	C	O	C	O	C	O	C	O	C
defg	Q	O	C	O	C	O	C	O	C	O	C	O	C	O	C	O	C
!abc	Q	O	C	O	C	O	C	O	C	O	C	O	C	O	C	O	C
+--:	Q	O	C	O	C	O	C	O	C	O	C	O	C	O	C	O	C
xyz;	Q	O	C	O	C	O	C	O	C	O	C	O	C	O	C	O	C
tuvw	Q	O	C	O	C	O	C	O	C	O	C	O	C	O	C	O	C
pqrs	Q	O	C	O	C	O	C	O	C	O	C	O	C	O	C	O	C
lmno	Q	O	C	O	C	O	C	O	C	O	C	O	C	O	C	O	C
hijk	Q	O	C	O	C	O	C	O	C	O	C	O	C	O	C	O	C
defg	Q	O	C	O	C	O	C	O	C	O	C	O	C	O	C	O	C
!abc	Q	O	C	O	C	O	C	O	C	O	C	O	C	O	C	O	C
10	N	R_d	G_d	B_d	Z												

TF871-3, Fig. D5Wdd: code et anneau de Landolt N ; R_d ; G_d ; B_d ; Z ; PS opérateur: $rgb \rightarrow rgb_{dd}$ setrgbcolorTF871-5, Fig. D6Wdd: anneaux de Landolt $W-R_d$; $W-G_d$; PS opérateur: $rgb \rightarrow rgb_{dd}$ setrgbcolorTF871-7, Fig. D7Wdd: anneaux de Landolt $W-B_d$; $W-N$; PS opérateur: $rgb \rightarrow rgb_{dd}$ setrgbcolor

entrée: $rgb/cmyk \rightarrow rgb_{dd}$
 sortie: linearisation 3D selon $cmy0^*dd$

